



NATA LIGHTING CO.,LTD.
www.nata.cn
Email:info@nata.com
Tel:+86-750-3770000 Fax:+86-750-3771111
Address:380JinOu Road,GaoXin Zone,Jiang Men City,Guangdong,China

NATA

Client:

LumCAT: 2-2643-L

Luminaire: 92.70.412.00

Report No: 20231009-B007

Ballast type: AC

Test No: 20231009-C007

Voltage(V): 34.240

LampCAT: BRIDGELUX V13B LES13

Current(A): 0.451

Lamp flux(lm): 2091.1

Power (W): 15.442

Number of Lamps: 1

PF: 0.000

Length(mm): 0

Width(mm): 0

Phm Type: C

Height(mm): 0

Photometric Results

Lumens(lm): 1989.20, Efficiency(%): 95.13% , Luminous Efficacy(lm/W): 128.82

Central intensity(cd): 11269.270, Maximum intensity(cd): 11269.270

Angle of maximum intensity: C=0.0 γ =0.0

Beam Angle(50%Imax): [C0/180]Total=17.2

[C90/270]Total=17.2

Field angle(10%Imax): [C0/180]Total=44.6

[C90/270]Total=44.6

Maximum s/h(1/2): C0_180=0.30 C90_270=0.30

Maximum s/h(1/4): C0_180=0.32 C90_270=0.32

Up flux rate of lamp(%): 0.00%

Down flux rate of lamp(%): 95.12%

Up flux rate of LUM(%): - -

Down flux rate of LUM(%): 100.00%

CIE Type : Direct lighting

Output flux ratio in π solid angle : 98.184%

$\gamma(^{\circ})$	Average I(cd)	Zonal F(lm)	Sum F(lm)	Eff Flux(%)	Eff Sum(%)
0.0	11269.273	0.000	0	0.00%	0.00%
1.0	11194.269	10.748	10.748	0.51%	0.54%
2.0	10901.933	31.715	42.463	1.52%	2.13%
3.0	10365.764	50.865	93.328	2.43%	4.69%
4.0	9675.574	67.085	160.413	3.21%	8.06%
5.0	8847.415	79.685	240.098	3.81%	12.07%
6.0	8004.310	88.560	328.658	4.24%	16.52%
7.0	7057.003	93.485	422.144	4.47%	21.22%
8.0	6188.159	94.793	516.937	4.53%	25.99%
9.0	5328.310	93.335	610.271	4.46%	30.68%
10.0	4564.153	89.523	699.795	4.28%	35.18%
11.0	3924.819	84.822	784.617	4.06%	39.44%
12.0	3386.090	79.919	864.536	3.82%	43.46%
13.0	2935.097	75.017	939.552	3.59%	47.23%
14.0	2649.680	71.485	1011.037	3.42%	50.83%
15.0	2493.098	70.602	1081.639	3.38%	54.38%
16.0	2125.322	67.673	1149.312	3.24%	57.78%
17.0	1851.107	61.924	1211.236	2.96%	60.89%
18.0	1681.725	58.249	1269.484	2.79%	63.82%
19.0	1536.699	55.994	1325.478	2.68%	66.63%
20.0	1379.647	53.377	1378.856	2.55%	69.32%
21.0	1221.301	49.943	1428.799	2.39%	71.83%
22.0	1155.174	47.756	1476.555	2.28%	74.23%
23.0	1064.547	46.576	1523.131	2.23%	76.57%
24.0	975.746	44.608	1567.739	2.13%	78.81%
25.0	884.696	42.302	1610.042	2.02%	80.94%
26.0	799.776	39.762	1649.804	1.90%	82.94%
27.0	712.276	36.993	1686.796	1.77%	84.80%
28.0	627.219	33.913	1720.71	1.62%	86.50%
29.0	545.018	30.669	1751.379	1.47%	88.04%
30.0	470.679	27.424	1778.802	1.31%	89.42%
31.0	400.061	24.231	1803.034	1.16%	90.64%
32.0	338.757	21.166	1824.2	1.01%	91.71%
33.0	280.525	18.244	1842.444	0.87%	92.62%
34.0	245.383	15.916	1858.36	0.76%	93.42%
35.0	215.422	14.311	1872.671	0.68%	94.14%
36.0	153.890	11.759	1884.43	0.56%	94.73%
37.0	119.474	8.916	1893.345	0.43%	95.18%

$\gamma(^{\circ})$	Average I(cd)	Zonal F(lm)	Sum F(lm)	Eff Flux(%)	Eff Sum(%)
38.0	95.686	7.182	1900.527	0.34%	95.54%
39.0	78.180	5.935	1906.461	0.28%	95.84%
40.0	63.657	4.947	1911.408	0.24%	96.09%
41.0	52.807	4.147	1915.555	0.20%	96.30%
42.0	43.930	3.515	1919.07	0.17%	96.47%
43.0	37.883	3.031	1922.101	0.14%	96.63%
44.0	33.316	2.687	1924.788	0.13%	96.76%
45.0	30.119	2.438	1927.226	0.12%	96.88%
46.0	27.587	2.257	1929.482	0.11%	97.00%
47.0	25.373	2.106	1931.589	0.10%	97.10%
48.0	23.539	1.977	1933.566	0.09%	97.20%
49.0	22.003	1.870	1935.436	0.09%	97.30%
50.0	20.765	1.783	1937.219	0.09%	97.39%
51.0	19.747	1.714	1938.933	0.08%	97.47%
52.0	18.855	1.656	1940.59	0.08%	97.56%
53.0	18.191	1.611	1942.201	0.08%	97.64%
54.0	17.616	1.578	1943.78	0.08%	97.72%
55.0	17.194	1.554	1945.333	0.07%	97.79%
56.0	16.869	1.539	1946.873	0.07%	97.87%
57.0	16.655	1.533	1948.405	0.07%	97.95%
58.0	16.571	1.536	1949.942	0.07%	98.03%
59.0	16.599	1.551	1951.493	0.07%	98.10%
60.0	16.655	1.571	1953.064	0.08%	98.18%
61.0	16.655	1.590	1954.653	0.08%	98.26%
62.0	16.648	1.605	1956.258	0.08%	98.34%
63.0	16.509	1.613	1957.871	0.08%	98.43%
64.0	16.177	1.604	1959.474	0.08%	98.51%
65.0	15.554	1.570	1961.045	0.08%	98.58%
66.0	14.959	1.522	1962.567	0.07%	98.66%
67.0	14.260	1.469	1964.037	0.07%	98.74%
68.0	13.534	1.408	1965.444	0.07%	98.81%
69.0	12.932	1.350	1966.795	0.06%	98.87%
70.0	12.427	1.302	1968.097	0.06%	98.94%
71.0	11.970	1.261	1969.358	0.06%	99.00%
72.0	11.590	1.225	1970.583	0.06%	99.06%
73.0	11.292	1.197	1971.78	0.06%	99.12%
74.0	11.036	1.174	1972.953	0.06%	99.18%
75.0	10.801	1.154	1974.107	0.06%	99.24%

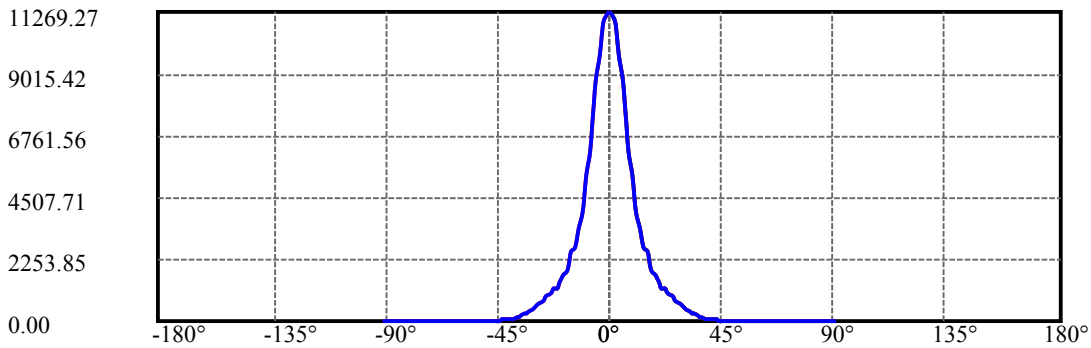
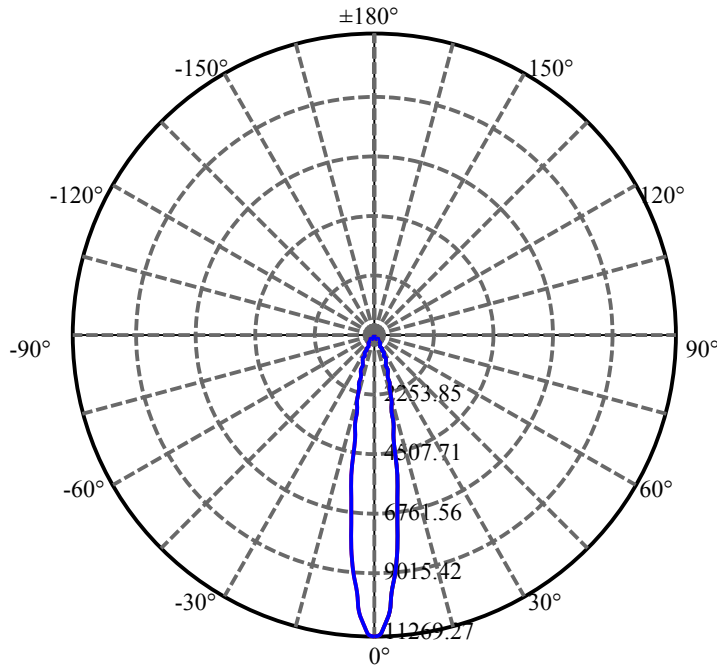
$\gamma(^{\circ})$	Average I(cd)	Zonal F(lm)	Sum F(lm)	Eff Flux(%)	Eff Sum(%)
76.0	10.573	1.135	1975.242	0.05%	99.30%
77.0	10.351	1.116	1976.357	0.05%	99.35%
78.0	10.123	1.096	1977.453	0.05%	99.41%
79.0	9.915	1.077	1978.53	0.05%	99.46%
80.0	9.708	1.058	1979.588	0.05%	99.52%
81.0	9.514	1.039	1980.627	0.05%	99.57%
82.0	9.272	1.019	1981.646	0.05%	99.62%
83.0	9.092	0.998	1982.644	0.05%	99.67%
84.0	8.912	0.981	1983.625	0.05%	99.72%
85.0	8.746	0.964	1984.589	0.05%	99.77%
86.0	8.587	0.947	1985.536	0.05%	99.82%
87.0	8.462	0.933	1986.469	0.04%	99.86%
88.0	8.338	0.920	1987.39	0.04%	99.91%
89.0	8.234	0.908	1988.298	0.04%	99.95%
90.0	8.165	0.899	1989.197	0.04%	100.00%

ZONAL LUMEN SUMMARY

Zone	Lumens	%Lamp	%Fixt
0-30	1778.80	85.06%	89.42%
0-40	1911.41	91.41%	96.09%
0-60	1953.06	93.40%	98.18%
0-90	1988.30	95.08%	99.95%
0-120	1988.30	95.08%	99.95%
0-180	1989.20	95.13%	100.00%
60-90	35.23	1.68%	1.77%
90-120	0.00	0.00%	0.00%
90-130	0.00	0.00%	0.00%
90-150	0.00	0.00%	0.00%
90-180	0.00	0.00%	0.00%
0-24.56	1591.36	76.10%	80.00%

ZONAL LUMEN SUMMARY

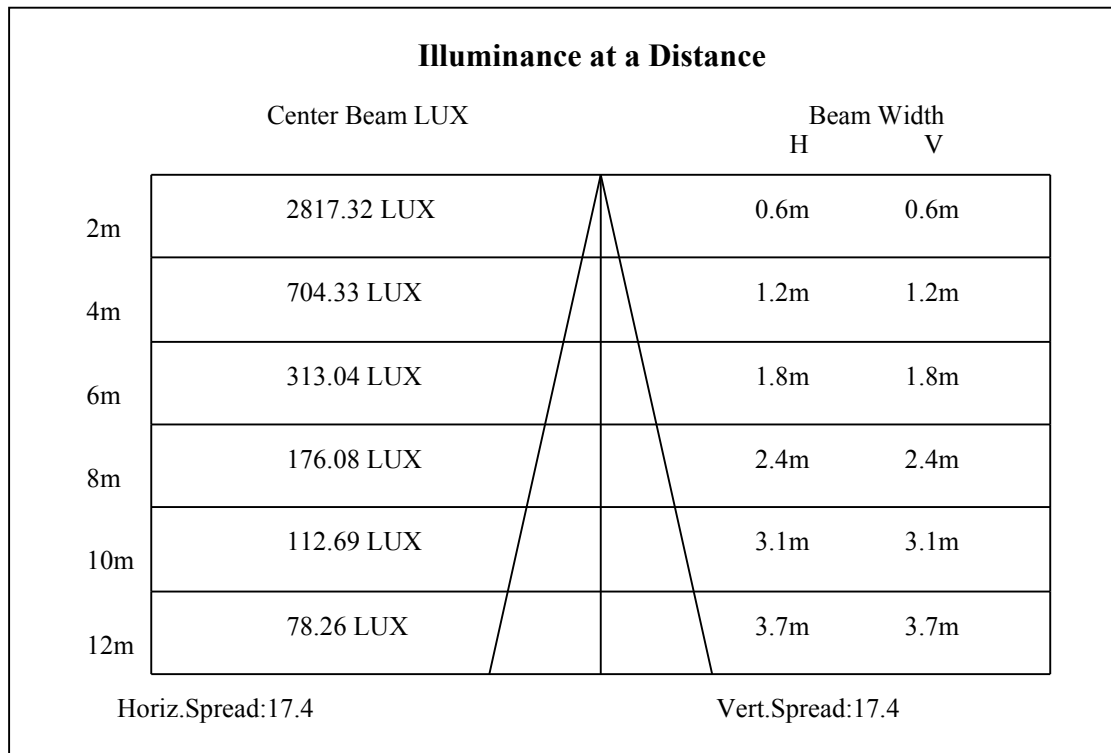
0-10	699.79
10-20	679.06
20-30	399.95
30-40	132.61
40-50	25.81
50-60	15.84
60-70	15.03
70-80	11.49
80-90	8.71
90-100	0.00
100-110	0.00
110-120	0.00
120-130	0.00
130-140	0.00
140-150	0.00
150-160	0.00
160-170	0.00
170-180	0.00

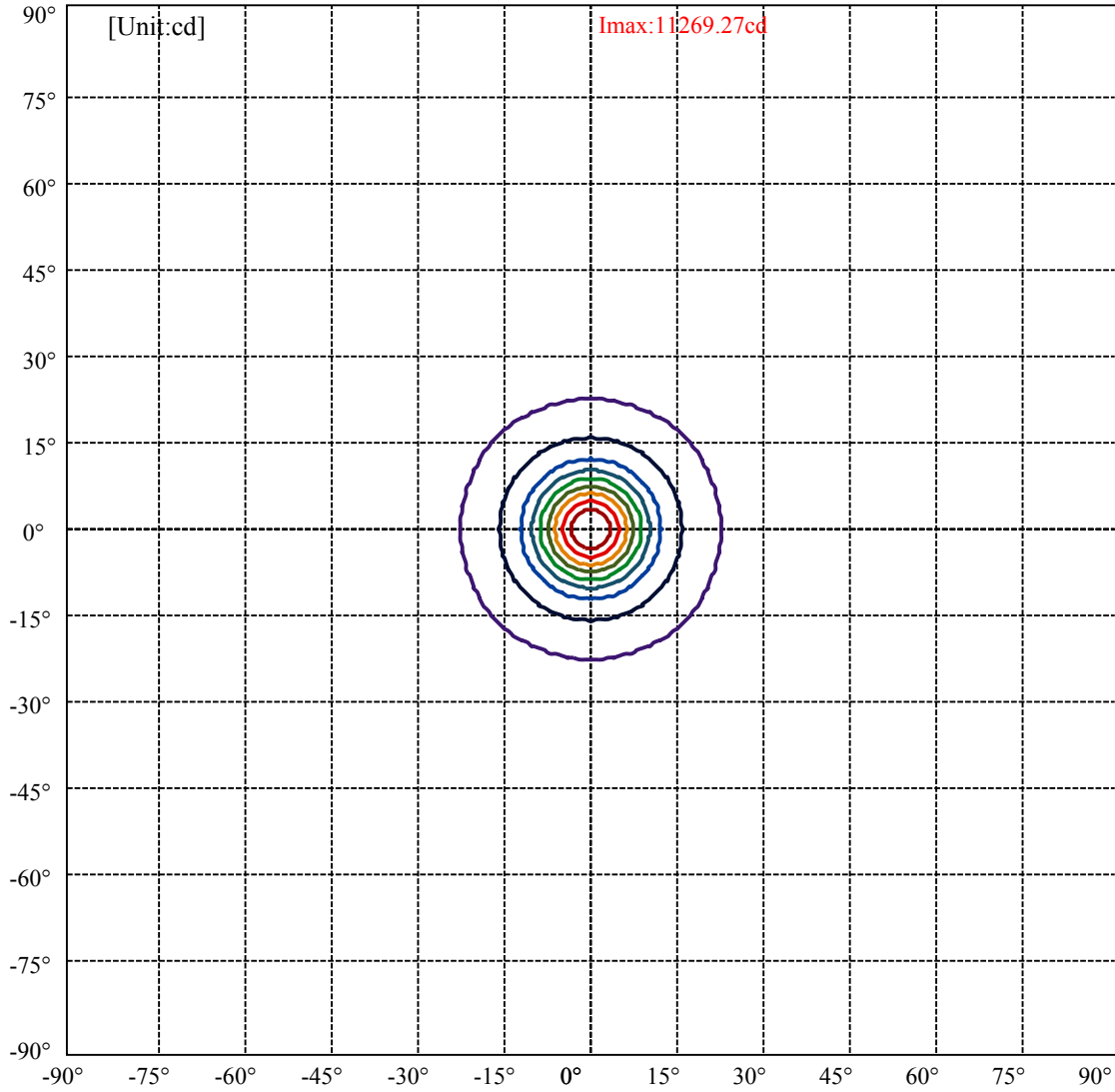


C0(Max): —————
C0/C180: —————
C90/C270: —————

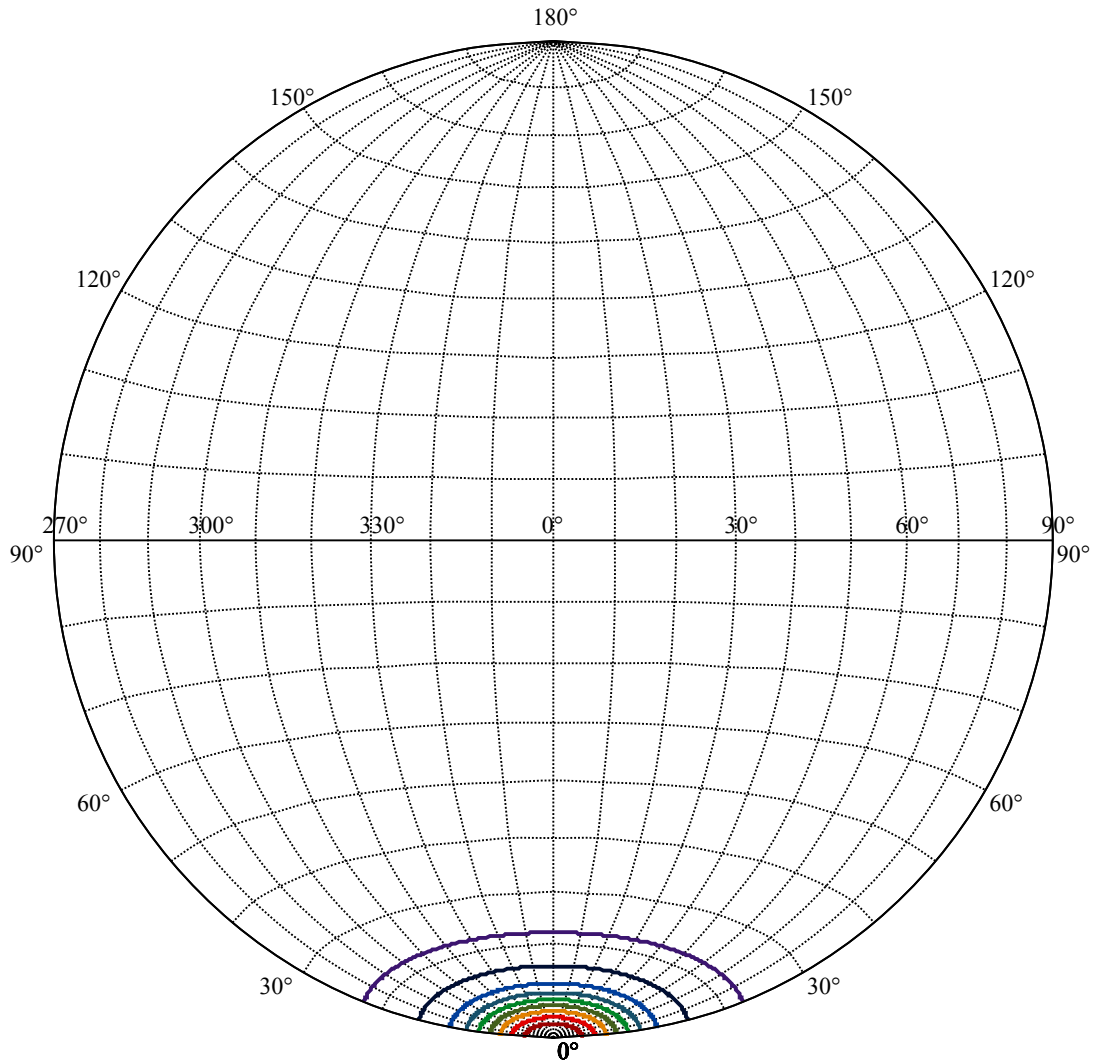
Field angle(10%Imax):C0/180Left:22.3 Right:22.3
:C90/270Left:22.3 Right:22.3

Beam Angle(50%Imax):C0/180Left:8.6 Right:8.6
:C90/270Left:8.6 Right:8.6





(10%Imax) 1126.93	—
(20%Imax) 2253.85	—
(30%Imax) 3380.78	—
(40%Imax) 4507.71	—
(50%Imax) 5634.64	—
(60%Imax) 6761.56	—
(70%Imax) 7888.49	—
(80%Imax) 9015.42	—
(90%Imax) 10142.3	—



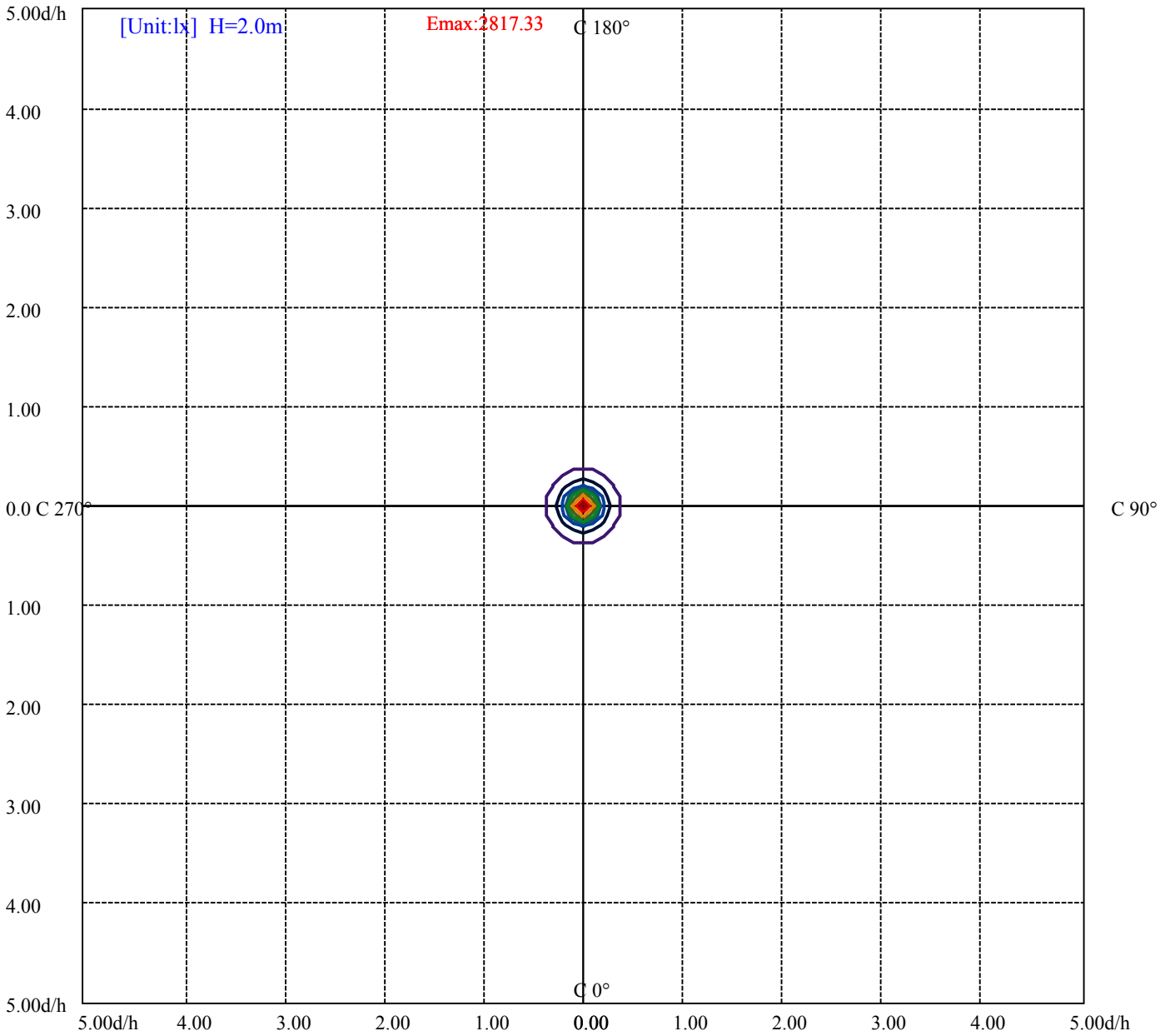
House

[Unit:cd]

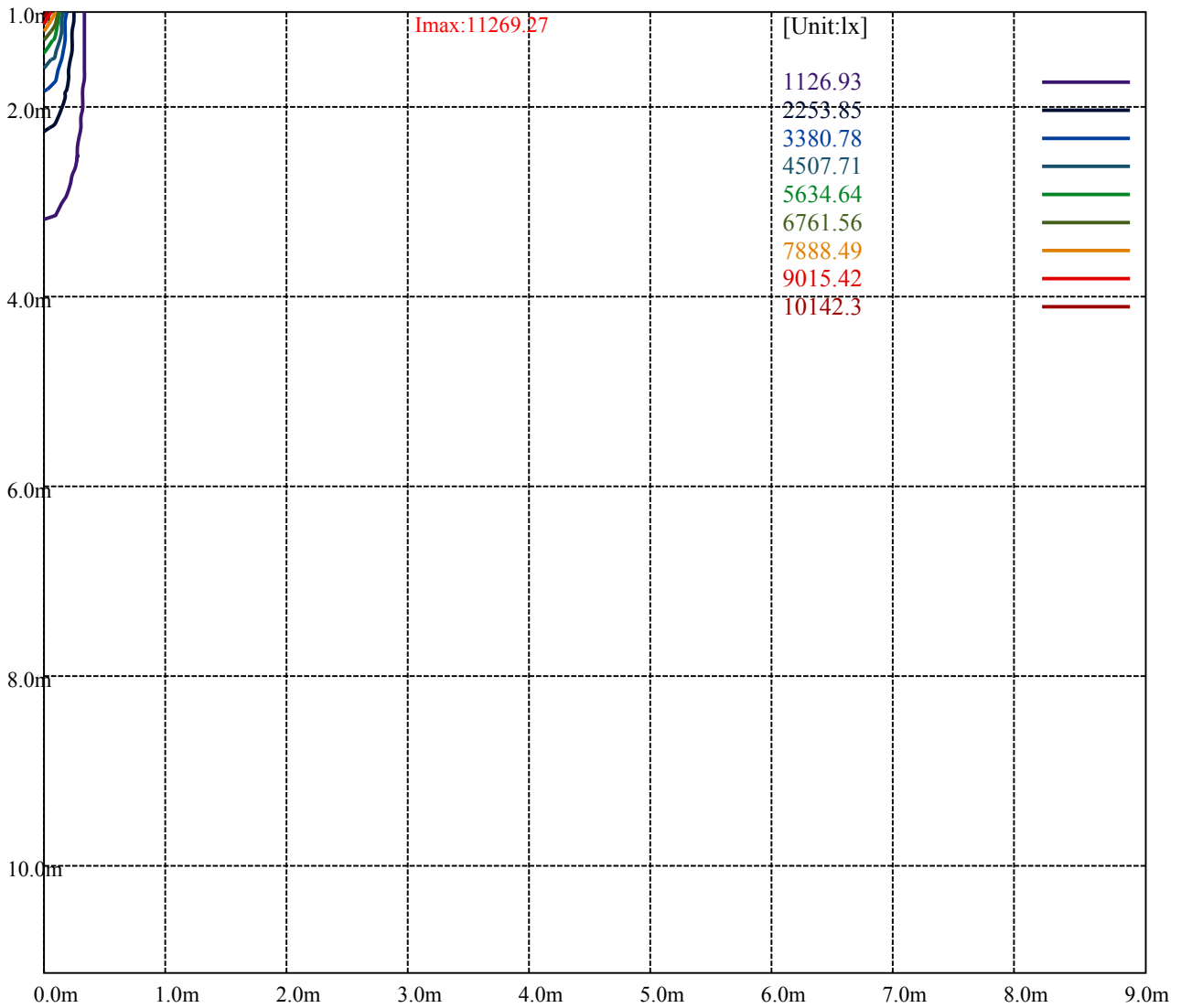
Road

I_{max}:11269.27

(10%I _{max})	1126.93	—
(20%I _{max})	2253.85	—
(30%I _{max})	3380.78	—
(40%I _{max})	4507.71	—
(50%I _{max})	5634.64	—
(60%I _{max})	6761.56	—
(70%I _{max})	7888.49	—
(80%I _{max})	9015.42	—
(90%I _{max})	10142.3	—



- (10%Emax) 281.7325
- (20%Emax) 563.4625
- (30%Emax) 845.195
- (40%Emax) 1126.925
- (50%Emax) 1408.657
- (60%Emax) 1690.39
- (70%Emax) 1972.12
- (80%Emax) 2253.853
- (90%Emax) 2535.575



Luminance Table

γ	45	50	55	60	65	70	75	80	85
C0	0	0	0	0	0	0	0	0	0
C45	0	0	0	0	0	0	0	0	0
C90	0	0	0	0	0	0	0	0	0

L(Hor)(65)	L(Ver)(65)	L45(65)	L(Hor)(75)	L(Ver)(75)	L45(75)	L(Hor)(85)	L(Ver)(85)	L45(85)
0	0	0	0	0	0	0	0	0

Glare Table

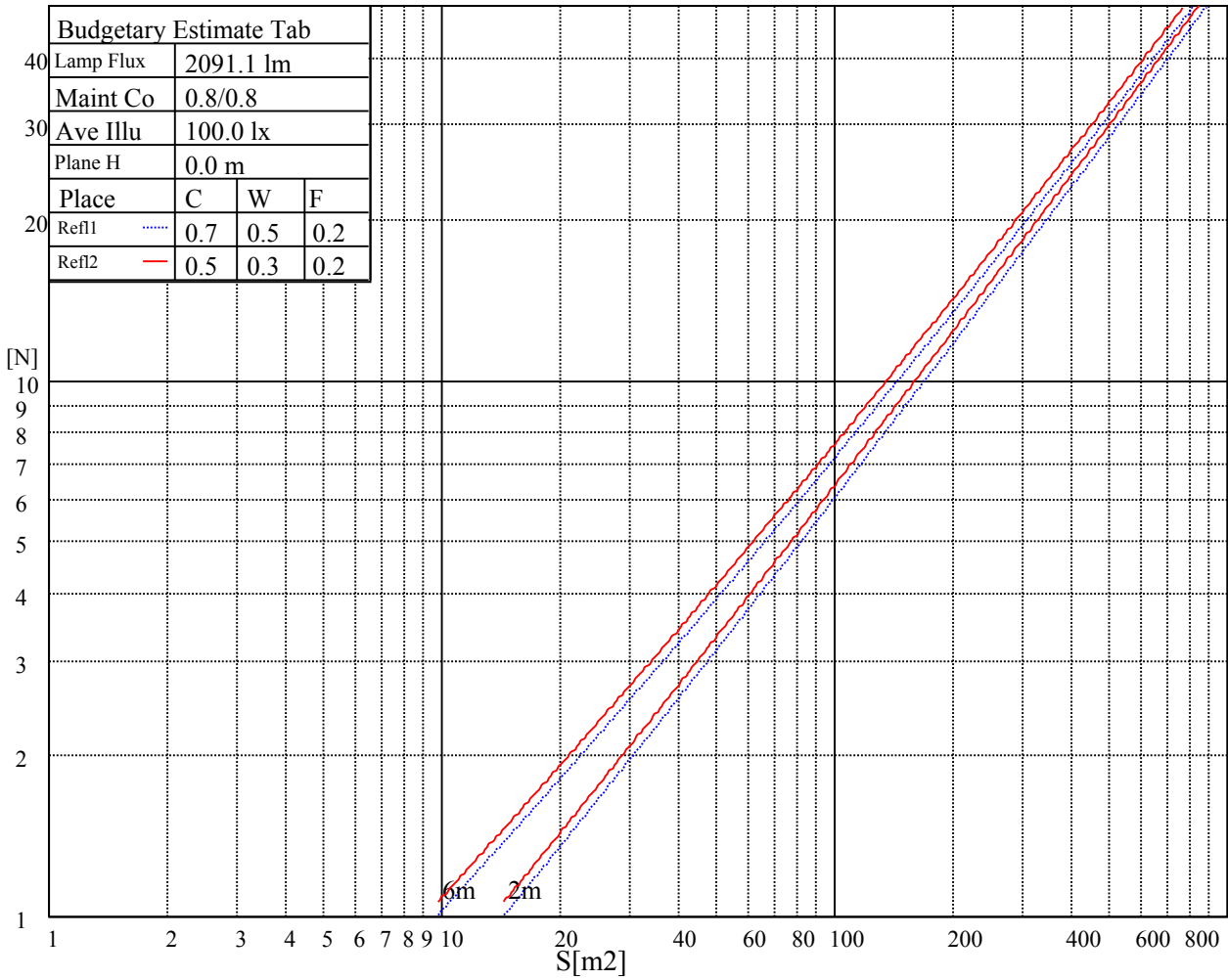
Glare	Quality	Service Values Illuminance(lx)							
1.15	A	2000	1000	500	<=300				
1.5	B		2000	1000	500	<=300			
1.85	C			2000	1000	500	<=300		
2.2	D				2000	1000	500	<=300	
2.55	E					2000	1000	500	<=300
		a	b	c	d	e	f	g	h

Luminance Limiting Curve

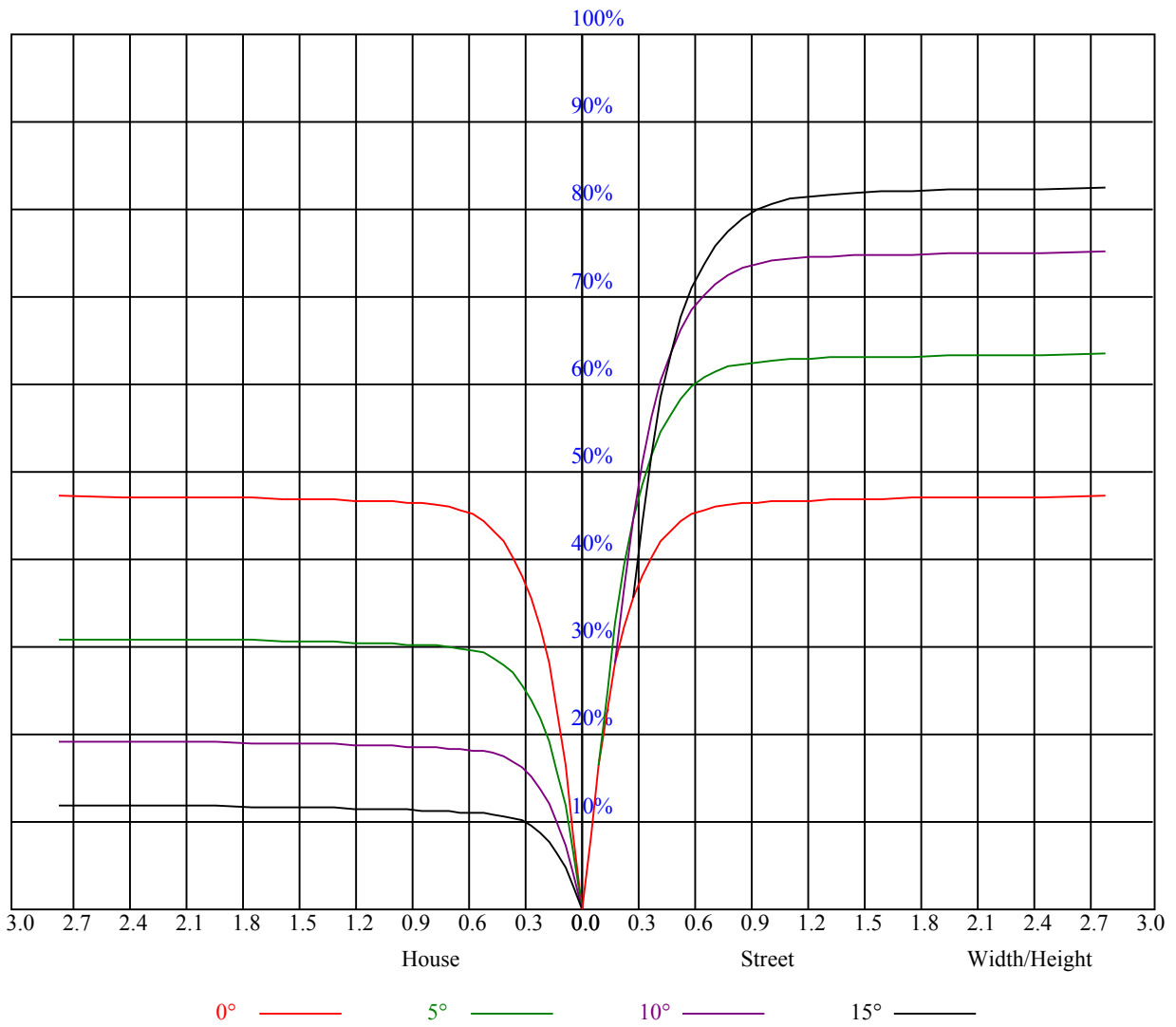


Illumination assessment according UGR										
Rf of Ceiling	70	70	50	50	30	70	70	50	50	30
Rf of Wall	50	30	50	30	30	50	30	50	30	30
Rf of Floor	20	20	20	20	20	20	20	20	20	20
Room dimensions	Viewed crosswise					Viewed endwise				
X	Y									
2H	2H	非数字	非数字	非数字	非数字	非数字	非数字	非数字	非数字	非数字
	3H	非数字	非数字	非数字	非数字	非数字	非数字	非数字	非数字	非数字
	4H	非数字	非数字	非数字	非数字	非数字	非数字	非数字	非数字	非数字
	6H	非数字	非数字	非数字	非数字	非数字	非数字	非数字	非数字	非数字
	8H	非数字	非数字	非数字	非数字	非数字	非数字	非数字	非数字	非数字
	12H	非数字	非数字	非数字	非数字	非数字	非数字	非数字	非数字	非数字
4H	2H	非数字	非数字	非数字	非数字	非数字	非数字	非数字	非数字	非数字
	3H	非数字	非数字	非数字	非数字	非数字	非数字	非数字	非数字	非数字
	4H	非数字	非数字	非数字	非数字	非数字	非数字	非数字	非数字	非数字
	6H	非数字	非数字	非数字	非数字	非数字	非数字	非数字	非数字	非数字
	8H	非数字	非数字	非数字	非数字	非数字	非数字	非数字	非数字	非数字
	12H	非数字	非数字	非数字	非数字	非数字	非数字	非数字	非数字	非数字
8H	4H	非数字	非数字	非数字	非数字	非数字	非数字	非数字	非数字	非数字
	6H	非数字	非数字	非数字	非数字	非数字	非数字	非数字	非数字	非数字
	8H	非数字	非数字	非数字	非数字	非数字	非数字	非数字	非数字	非数字
	12H	非数字	非数字	非数字	非数字	非数字	非数字	非数字	非数字	非数字
12H	4H	非数字	非数字	非数字	非数字	非数字	非数字	非数字	非数字	非数字
	6H	非数字	非数字	非数字	非数字	非数字	非数字	非数字	非数字	非数字
	8H	非数字	非数字	非数字	非数字	非数字	非数字	非数字	非数字	非数字
Variation with the observer position at spacings:										
S = 1.0H	非数字/非数字					非数字/非数字				
S = 1.5H	非数字/非数字					非数字/非数字				
S = 2.0H	非数字/非数字					非数字/非数字				
Standard tables:	BK0					BK0				
Uncorrected UGR	负无穷大					负无穷大				

UGR calculation is based on CIE Publ. 117 ,S/H = 0.25



RHOCC	80			70			50			30			10			0
RHOW	50	30	10	50	30	10	50	30	10	50	30	10	50	30	10	0
RCR	COEFFICIENTS OF UTILIZATION RHOF=20 CU															
0	1.13	1.13	1.13	1.11	1.11	1.11	1.06	1.06	1.06	1.01	1.01	1.01	0.97	0.97	0.97	0.95
1	1.07	1.05	1.03	1.05	1.03	1.01	1.01	0.99	0.98	0.97	0.96	0.95	0.94	0.93	0.92	0.91
2	1.01	0.98	0.95	0.99	0.97	0.94	0.96	0.94	0.92	0.94	0.92	0.90	0.91	0.90	0.88	0.87
3	0.96	0.92	0.89	0.95	0.92	0.89	0.93	0.90	0.87	0.90	0.88	0.86	0.88	0.86	0.85	0.83
4	0.92	0.88	0.85	0.91	0.87	0.84	0.89	0.86	0.83	0.87	0.85	0.82	0.86	0.83	0.82	0.80
5	0.88	0.84	0.81	0.87	0.84	0.81	0.86	0.82	0.80	0.84	0.82	0.79	0.83	0.81	0.79	0.77
6	0.85	0.81	0.78	0.84	0.80	0.77	0.83	0.79	0.77	0.82	0.79	0.76	0.81	0.78	0.76	0.75
7	0.82	0.78	0.75	0.81	0.77	0.74	0.80	0.77	0.74	0.79	0.76	0.74	0.78	0.76	0.73	0.72
8	0.79	0.75	0.72	0.79	0.75	0.72	0.78	0.74	0.72	0.77	0.74	0.71	0.76	0.73	0.71	0.70
9	0.77	0.72	0.70	0.76	0.72	0.70	0.75	0.72	0.69	0.75	0.71	0.69	0.74	0.71	0.69	0.68
10	0.74	0.70	0.68	0.74	0.70	0.67	0.73	0.70	0.67	0.73	0.69	0.67	0.72	0.69	0.67	0.66



Intensity data(cd)

C/γ(°)	0.0	1.0	2.0	3.0	4.0	5.0	6.0	7.0	8.0
0.0	11002.58	10890.21	10208.26	9510.25	8717.03	7652.58	6795.71	5962.08	5167.76
45.0	11520.19	11354.13	11049.69	10429.73	9776.55	9012.67	8198.98	7152.79	6311.42
90.0	11034.13	11034.13	10558.09	9955.29	9227.39	8214.42	7385.78	6361.73	5560.77
135.0	11520.19	11343.06	11038.61	10440.80	9793.16	9056.96	8259.86	7241.36	6411.05
180.0	11002.58	11503.59	11320.92	11016.47	10523.83	9754.41	9007.14	8198.98	7352.07
225.0	11520.19	11016.97	10911.25	10394.24	9538.48	8755.22	7915.51	6817.29	5952.12
270.0	11034.13	11464.84	11293.24	10911.30	10235.99	9527.46	8735.91	7877.92	6776.39
315.0	11520.19	10947.23	10835.41	10268.04	9592.17	8805.60	7735.61	6843.86	5973.71
360.0	11002.58	10890.21	10208.26	9510.25	8717.03	7652.58	6795.71	5962.08	5167.76
C/γ(°)	9.0	10.0	11.0	12.0	13.0	14.0	15.0	16.0	17.0
0.0	4304.79	3736.31	3256.40	2858.40	2475.91	2230.69	2017.58	1834.92	1650.04
45.0	5519.86	4789.19	4008.71	3488.38	3056.63	2868.42	2868.42	2115.01	1916.29
90.0	4833.97	4050.72	3533.72	3096.43	2738.84	2387.35	2151.54	1942.86	1734.73
135.0	5630.57	4739.38	4130.49	3471.78	3045.56	2862.89	2862.89	2109.47	1910.75
180.0	6311.42	5514.33	4761.52	4119.41	3449.64	3023.41	2835.21	2835.21	2077.92
225.0	5145.62	4449.27	3713.62	3222.63	2836.26	2519.09	2200.25	1983.26	1767.39
270.0	5901.80	4938.65	4268.87	3693.19	3106.44	2829.68	2829.68	2210.21	1947.84
315.0	4978.45	4295.38	3725.24	3138.49	2771.50	2475.91	2179.22	1971.64	1803.92
360.0	4304.79	3736.31	3256.40	2858.40	2475.91	2230.69	2017.58	1834.92	1650.04
C/γ(°)	18.0	19.0	20.0	21.0	22.0	23.0	24.0	25.0	26.0
0.0	1516.08	1361.09	1096.61	1096.61	1027.58	942.51	859.36	759.78	678.58
45.0	1718.67	1585.83	1426.41	1310.16	1203.89	1107.02	996.86	910.51	826.37
90.0	1591.36	1461.28	1343.38	1082.83	1082.83	1016.85	933.70	835.73	755.13
135.0	1741.92	1596.90	1432.50	1316.81	1212.19	1092.62	1009.59	928.22	830.25
180.0	1851.52	1679.37	1537.67	1415.89	1276.40	1172.89	1078.79	1002.95	899.44
225.0	1626.79	1493.94	1341.72	1102.03	1102.03	1012.47	930.83	852.11	775.61
270.0	1789.53	1635.09	1500.58	1350.57	1240.97	1142.44	1050.00	941.51	865.67
315.0	1617.93	1480.10	1358.32	1095.50	1095.50	1029.58	946.82	846.74	767.15
360.0	1516.08	1361.09	1096.61	1096.61	1027.58	942.51	859.36	759.78	678.58
C/γ(°)	27.0	28.0	29.0	30.0	31.0	32.0	33.0	34.0	35.0
0.0	598.76	522.37	437.68	376.79	319.78	268.08	211.34	172.70	133.62
45.0	741.68	637.62	559.02	487.61	408.45	350.33	297.75	285.02	226.95
90.0	652.84	576.67	502.39	419.80	358.80	302.23	251.25	196.23	159.31
135.0	746.66	666.40	568.43	498.13	431.15	369.71	298.30	285.02	285.02
180.0	832.46	747.77	653.67	576.18	500.89	416.20	354.76	295.53	283.36
225.0	675.92	597.54	522.43	452.63	376.18	319.39	268.74	224.68	177.69
270.0	762.72	680.79	603.30	511.41	440.56	375.24	303.84	290.00	290.00
315.0	687.16	588.57	513.24	442.88	364.67	308.87	258.22	213.89	167.44
360.0	598.76	522.37	437.68	376.79	319.78	268.08	211.34	172.70	133.62
C/γ(°)	36.0	37.0	38.0	39.0	40.0	41.0	42.0	43.0	44.0
0.0	108.99	89.06	69.86	58.40	48.99	41.46	34.98	31.33	28.62
45.0	157.92	122.77	100.52	82.26	64.38	53.64	45.00	38.80	33.71
90.0	129.03	104.51	80.32	66.31	55.85	45.89	39.74	33.99	30.44
135.0	153.61	124.21	99.91	80.82	66.87	54.19	46.55	39.30	34.82
180.0	226.67	153.38	116.85	96.48	77.44	64.82	52.36	44.50	39.30
225.0	146.74	115.63	95.43	78.88	62.38	52.20	44.28	38.75	33.77
270.0	170.49	133.18	109.71	89.78	73.45	60.28	47.88	40.85	34.76
315.0	137.66	113.03	92.88	72.51	59.89	49.98	40.63	35.54	31.11
360.0	108.99	89.06	69.86	58.40	48.99	41.46	34.98	31.33	28.62

Intensity data(cd)

C/γ(°)	45.0	46.0	47.0	48.0	49.0	50.0	51.0	52.0	53.0
0.0	26.40	24.08	22.58	21.26	19.93	19.04	18.27	17.49	17.05
45.0	30.72	28.34	26.29	24.02	22.53	20.92	19.93	19.04	18.21
90.0	27.84	25.74	23.53	22.09	20.87	19.87	18.88	18.16	17.60
135.0	30.61	28.01	25.96	24.13	22.31	21.03	20.04	19.21	18.38
180.0	34.76	31.22	27.95	25.96	23.80	22.47	21.31	20.09	19.37
225.0	30.83	28.40	26.35	24.19	22.81	21.59	20.37	19.54	18.88
270.0	31.33	28.62	25.91	24.19	22.64	21.09	20.04	19.15	18.49
315.0	28.45	26.29	24.41	22.47	21.15	20.09	19.15	18.16	17.55
360.0	26.40	24.08	22.58	21.26	19.93	19.04	18.27	17.49	17.05
C/γ(°)	54.0	55.0	56.0	57.0	58.0	59.0	60.0	61.0	62.0
0.0	16.72	16.33	16.16	16.11	16.16	16.33	16.33	16.44	16.38
45.0	17.66	17.27	16.94	16.72	16.61	16.72	16.88	16.88	16.88
90.0	17.05	16.77	16.55	16.44	16.55	16.66	16.66	16.61	16.55
135.0	17.77	17.38	16.99	16.66	16.55	16.55	16.61	16.55	16.50
180.0	18.71	17.99	17.55	17.16	16.88	16.66	16.61	16.66	16.66
225.0	18.16	17.77	17.44	17.21	17.10	17.10	17.21	17.10	17.10
270.0	17.77	17.33	16.99	16.77	16.61	16.61	16.66	16.72	16.72
315.0	17.10	16.72	16.33	16.16	16.11	16.16	16.27	16.27	16.38
360.0	16.72	16.33	16.16	16.11	16.16	16.33	16.33	16.44	16.38
C/γ(°)	63.0	64.0	65.0	66.0	67.0	68.0	69.0	70.0	71.0
0.0	16.00	15.39	14.78	14.06	13.28	12.62	12.18	11.79	11.40
45.0	16.83	16.38	15.67	15.17	14.50	13.73	13.06	12.51	12.07
90.0	16.11	15.61	15.00	14.45	13.56	12.95	12.51	12.12	11.62
135.0	16.50	16.27	15.67	15.06	14.50	13.78	13.06	12.51	12.07
180.0	16.55	16.55	16.27	15.55	15.06	14.34	13.56	12.95	12.51
225.0	17.05	16.66	15.83	15.28	14.45	13.56	13.06	12.45	12.01
270.0	16.72	16.55	16.00	15.39	14.67	13.95	13.28	12.84	12.23
315.0	16.33	16.00	15.22	14.72	14.06	13.34	12.73	12.23	11.85
360.0	16.00	15.39	14.78	14.06	13.28	12.62	12.18	11.79	11.40
C/γ(°)	72.0	73.0	74.0	75.0	76.0	77.0	78.0	79.0	80.0
0.0	11.13	10.90	10.74	10.46	10.24	10.07	9.85	9.63	9.47
45.0	11.73	11.46	11.18	10.96	10.74	10.57	10.30	10.07	9.85
90.0	11.35	11.07	10.85	10.63	10.41	10.19	9.96	9.80	9.52
135.0	11.68	11.40	11.13	10.90	10.63	10.41	10.19	9.96	9.80
180.0	11.96	11.57	11.29	10.96	10.74	10.52	10.30	10.07	9.85
225.0	11.68	11.29	11.02	10.85	10.63	10.35	10.13	9.91	9.74
270.0	11.79	11.51	11.18	10.96	10.74	10.46	10.24	10.02	9.80
315.0	11.40	11.13	10.90	10.68	10.46	10.24	10.02	9.85	9.63
360.0	11.13	10.90	10.74	10.46	10.24	10.07	9.85	9.63	9.47
C/γ(°)	81.0	82.0	83.0	84.0	85.0	86.0	87.0	88.0	89.0
0.0	9.30	9.08	8.91	8.75	8.58	8.41	8.30	8.25	8.19
45.0	9.63	9.35	9.13	8.97	8.80	8.64	8.47	8.30	8.25
90.0	9.35	9.13	9.02	8.80	8.69	8.52	8.41	8.30	8.19
135.0	9.58	9.30	9.13	9.02	8.80	8.64	8.52	8.41	8.25
180.0	9.69	9.41	9.19	8.97	8.80	8.64	8.52	8.36	8.25
225.0	9.47	9.24	9.08	8.86	8.69	8.52	8.41	8.30	8.14
270.0	9.63	9.41	9.19	9.02	8.80	8.69	8.58	8.41	8.41
315.0	9.47	9.24	9.08	8.91	8.80	8.64	8.47	8.36	8.19
360.0	9.30	9.08	8.91	8.75	8.58	8.41	8.30	8.25	8.19

Intensity data(cd)

<i>C/γ(°)</i>	90.0
0.0	8.14
45.0	8.14
90.0	8.19
135.0	8.19
180.0	8.14
225.0	8.14
270.0	8.19
315.0	8.19
360.0	8.14